

## О СУЩЕСТВОВАНИИ ГОМОКЛИНИЧЕСКОЙ ОРБИТЫ В ОБОБЩЕННОЙ СИСТЕМЕ ЛОРЕНЦА

М.М. Шумафов

Санкт-Петербургский государственный университет, г. Санкт-Петербург

Доказывается существование гомоклинической орбиты у обобщенной системы Лоренца  
 $\dot{x} = d(y - x) - axy$ ,  $\dot{y} = -y + rx - xz$ ,  $\dot{z} = -bz + xy$ .

**1. Введение.** Вопросом существования гомоклинической орбиты (петли сепаратрисы седла) у стандартной системы Лоренца

$$\begin{cases} \dot{x} = d(y - x), \\ \dot{y} = -y + rx - xz, \\ \dot{z} = -bz + xy, \end{cases} \quad (1^\circ)$$

( $b > 0$ ,  $d > 0$ ,  $r > 0$  – константы) в последнее время занимались ряд авторов: С.Р.Хастингс и Н.С.Трой [1,2], Х.Чэн [3], Г.А.Леонов [4,5].

Ниже мы рассматриваем аналогичный вопрос для обобщенной системы Лоренца

$$\begin{cases} \dot{x} = d(y - x) - axy, \\ \dot{y} = -y + rx - xz, \\ \dot{z} = -bz + xy, \end{cases} \quad (1)$$

где  $b$ ,  $d$ ,  $r$  – положительные константы,  $a$  – произвольное вещественное число.

Численные эксперименты позволили обнаружить, как в системе Лоренца (1<sup>o</sup>), существование странных аттракторов в системе (1) и при  $a \neq 0$  (см. [4, 5]. Помимо этого, система (1) привлекает внимание еще и тем, что к ней сводится ряд систем, возникающих в различных областях естествознания (см. [6] – [11]).

Отметим, что гомоклинические орбиты играют важную роль при анализе динамики систем (1<sup>o</sup>) и (1), так как они являются «предвестниками» хаоса и возникают при бифуркационных значениях параметров системы при переходе от глобальной устойчивости к стохастическим колебаниям.

**2. Состояния равновесия системы и их характер.** Рассмотрим два случая: 1)  $a > 0$ , 2)  $a < 0$ . Сначала введем числа

$$u_1 := \frac{ar - d + \sqrt{D}}{2a}, \quad u_2 := \frac{ar - d - \sqrt{D}}{2a}, \quad D := (d - ar)^2 + 4ad.$$

1) Случай  $a > 0$ . Состояниями равновесия системы (1) являются:

1.  $O(0, 0, 0)$ , если  $0 < u_1 < 1$ ,
2.  $O(0, 0, 0)$ ,  $C_1^\pm \left( \pm \frac{1}{u_1} \sqrt{\frac{bd(u_1 - 1)}{a}}, \pm \sqrt{\frac{bd(u_1 - 1)}{a}}, \frac{d(u_1 - 1)}{au_1} \right)$ , если  $u_1 > 1$ .

2) Случай  $a < 0$ . Состояния равновесия системы (1):

1.  $O(0, 0, 0)$ , если  $D < 0$  или  $D > 0, u_1 > 1$ ;

2.  $O(0, 0, 0), C_2^\pm \left( \pm \frac{1}{u_1} \sqrt{\frac{bd(1-u_1)}{-a}}, \pm \sqrt{\frac{bd(1-u_1)}{-a}}, \frac{d(1-u_1)}{(-a)u_1} \right)$ , если  $D > 0, 0 < u_1 < 1, u_2 > 1$ ;

3.  $O(0, 0, 0), C_2^\pm \left( \pm \frac{1}{u_1} \sqrt{\frac{bd(1-u_1)}{-a}}, \pm \sqrt{\frac{bd(1-u_1)}{-a}}, \frac{d(1-u_1)}{(-a)u_1} \right)$ ,  
 $C_3^\pm \left( \pm \frac{1}{u_2} \sqrt{\frac{bd(1-u_2)}{-a}}, \pm \sqrt{\frac{bd(1-u_2)}{-a}}, \frac{d(1-u_2)}{(-a)u_2} \right)$ ,

если  $D > 0, 0 < u_1 < 1, u_2 < 1 (u_1 < u_2)$ .

Так как в точке  $O(0, 0, 0)$  соответствующий характеристический многочлен не зависит от  $a$ , то, как и в системе Лоренца, а)  $O$  – устойчивый узел ( $\lambda_i < 0, i = 1, 2, 3$ ), если  $r < 1$ ; и б)  $O$  – седло ( $\lambda_1 > 0, \lambda_3 < \lambda_2 < 0$ ), если  $r > 1$ . Здесь

$$\lambda_i = \frac{1}{2} \left[ -(d+1) - (-1)^i \sqrt{(d+1)^2 + 4d(r-1)} \right], \quad \lambda_3 = -b \quad (i = 1, 2).$$

Соответствующие числам  $\lambda_1, \lambda_2, \lambda_3$  собственные векторы  $\xi_{\lambda_1}, \xi_{\lambda_2}, \xi_{\lambda_3}$  имеют вид:

$$\xi_{\lambda_i} = \left( 1; 1 + \frac{\lambda_i}{d}; 0 \right); \quad \xi_{\lambda_3} = (0, 0, -b) \quad (i = 1, 2).$$

Таким образом, как и в системе Лоренца, существует двумерное устойчивое многообразие, содержащее положительную и отрицательную полуоси оси  $z$  и одномерное неустойчивое многообразие  $\gamma = \gamma^+ \cup \gamma^-$ , где  $\gamma^+$  и  $\gamma^-$  примыкают к началу координат при  $t \rightarrow -\infty$ . Так как система (1) инвариантна относительно замены  $x \rightarrow -x, y \rightarrow -y, z \rightarrow z$ , то полутраектория  $\gamma^-$  симметрична полутраектории  $\gamma^+$  относительно оси  $z$ . Полутраектория  $\gamma^+$  входит в начало координат  $O(0, 0, 0)$  при  $t \rightarrow -\infty$  по направлению вектора  $\xi_{\lambda_1}$  и имеет следующее асимптотическое представление при  $x \rightarrow 0$ .

$$\gamma^+ = \left( x, \left( 1 + \frac{\lambda_1}{d} \right) x + O(x^2), \frac{d + \lambda_1}{d(b + 2\lambda_1)} x^2 + O(x^2) \right) \quad (x \rightarrow 0).$$

Относительно особых точек  $C_k^\pm (k = 1, 2, 3)$  мы сделаем следующее (наиболее типичное) предположение (P): особые точки  $C_k^\pm (k = 1, 2, 3)$  являются или устойчивыми узлами ( $\lambda_i < 0, i = 1, 2, 3$ ), или устойчивыми фокусами ( $\lambda_1 < 0, \lambda_j = \alpha \pm \beta i, \alpha < 0, j = 2, 3$ ), или седло-фокусами ( $\lambda_1 < 0, \lambda_j = \alpha \pm \beta i, \alpha > 0, j = 2, 3$ ).

Отметим, что простейшие свойства системы (1), такие как диссипативность, асимптотическая устойчивость в целом состояния равновесия  $O(0, 0, 0)$ , глобальная асимптотическая устойчивость, установлены в [12].

**3. Существование гомоклинической орбиты.** Докажем теперь существование гомоклинической орбиты в системе (1). Введем в рассмотрение гладкий путь  $\{(a(s), b(s), d(s), r(s)), 0 \leq s \leq 1$ , в пространстве параметров  $\{(a, b, d, r)\}$ .

Через  $\gamma_s^+(t) = \{(x_s(t), y_s(t), z_s(t))\}$  будем обозначать неустойчивое многообразие начала координат, которое для достаточно больших по модулю отрицательных значений  $t$  лежит в полупространстве  $\{x > 0\}$ .

**Теорема.** Пусть для системы (1) с параметрами  $a(0), b(0), d(0), r(0)$  существуют числа  $T_0^1 < T_0^2 < T_0^3$  такие, что

1)  $\dot{x}_0(T_0^1) = 0, \dot{x}_0(t) > 0 \quad \forall t \in (-\infty, T_0^1), x^{(2m)}(T_0^1) < 0$  при некотором  $m \in \mathbb{N}$ ;

- 2)  $y_0(T_0^2) = 0, \dot{y}_0(t) < 0 \forall t \in [T_0^1, T_0^2]$ ;  
 3)  $x_0(T_0^3) = 0, y_0(t) < 0 \forall t \in (T_0^2, T_0^3), \dot{x}_0(t) \leq 0 \forall t \in [T_0^2, T_0^3]$ .

Предположим далее, что для системы (1) с параметрами  $a(1), b(1), d(1), r(1)$  имеет место неравенство

$$x_1(t) > 0 \forall t \in (-\infty, +\infty). \quad (2)$$

Тогда существует такое значение  $s^* \in (0, 1]$ , что система (1) с параметрами  $a(s^*), b(s^*), d(s^*), r(s^*)$  имеет гомоклиническую орбиту.

**Доказательство.** Будем использовать метод “пристрелки” (shooting approach), предложенный в работах [1] и [2], а затем использованный в работах [13], [3], [5] для доказательства существования гомоклинической орбиты в системе Лоренца.

Введем в рассмотрение множество  $\Sigma$ , определяемое следующим образом:

$$\Sigma = \left\{ s \in [0, 1] \left| \begin{array}{l} 1) \exists T_s^1 : \dot{x}_s(T_s^1) = 0, \dot{x}_s(t) > 0 \forall t \in (-\infty, T_s^1), x^{(2m)}(T_s^1) < 0 \text{ при некотором } m \in N; \\ 2) \exists T_s^2 > T_s^1 : y_s(T_s^2) = 0, \dot{y}_s(t) < 0 \forall t \in [T_s^1, T_s^2]; \\ 3) \exists T_s^3 > T_s^2 : x_s(T_s^3) = 0, \dot{x}_s(t) \leq 0 \forall t \in [T_s^2, T_s^3], y_s(t) < 0 \forall t \in (T_s^2, T_s^3]. \end{array} \right. \right.$$

Доказательство теоремы разобьем на несколько этапов.

1. *Открытость множества  $\Sigma$ .* Ясно, что множество  $\Sigma$  не пусто, поскольку в силу условий 1)–3) теоремы  $0 \in \Sigma$ . Заметим, что в силу условия (2) теоремы  $1 \notin \Sigma$ . Пусть  $\bar{s} \in \Sigma$ . В силу непрерывной зависимости полутраектории  $\gamma_s^+(t), t \in (-\infty, t)$  от параметра  $s$  [14] для всех  $s$ , достаточно близких к  $\bar{s}$ , будут существовать числа  $T_s^1 < T_s^2 < T_s^3$ , удовлетворяющие всем трем условиям в определении множества  $\Sigma$ . Следовательно, множеству  $\Sigma$  принадлежит число  $\bar{s}$  вместе с некоторой его малой окрестностью, то есть  $\Sigma$  открыто.

2. *Определение числа  $s^*$ , траектория  $\gamma_{s^*}^+(t)$ .* Определим

$$s^* := \sup \Sigma \equiv \sup \{s : s \in \Sigma\}.$$

Поскольку  $\Sigma$  открыто, то  $s^* \notin \Sigma$ . Таким образом,  $[0, s^*)$  – максимальный интервал, на котором выполнены соотношения 1) – 3), определяющие множество  $\Sigma$ .

Мы утверждаем, что  $\gamma_{s^*}^+(t)$  является гомоклинической орбитой, примыкающей к началу координат.

3. *Существование числа  $T_{s^*}^1$ .* Покажем, что существует число  $T_{s^*}^1$ . такое, что

- a)  $\dot{x}_{s^*}(T_{s^*}^1) = 0, \dot{x}_{s^*}(t) > 0 \quad \forall t \in (-\infty, T_{s^*}^1),$   
 b)  $\exists m \in N : \ddot{x}_{s^*}(T_{s^*}^1) = \dots x_{s^*}^{(2m-1)}(T_{s^*}^1) = 0, x_{s^*}^{2m}(T_{s^*}^1) < 0.$

Условие a) означает, что существует такой первый момент времени  $T_{s^*}^1$ , при котором полутраектория попадает на линейчатую поверхность  $F_{s^*} = \{d^*(y - x) = a^* yz, d^* := d(s^*), a^* := a(s^*)\}$ . Отметим, что поверхность  $F_s := \{\dot{x} = 0\} = \{d(s)(y - x) = a(s) yz\}$  гладко зависит от параметра  $s$ .

Допустим, что такого момента времени  $T_{s^*}^1$  не существует. Тогда  $\dot{x}_{s^*}(t) > 0$  для всех  $t$ , и поскольку система (1) диссипативна [12], то  $\gamma_{s^*}^+$  стремится к одной из стационарных точек  $C_k^\pm$  ( $k = 1, 2, 3$ ), если  $a < 0$ , и к стационарной точке  $C_1^\pm$ , если  $a > 0$  (в противном случае  $\omega$ -предельное

множество траектории лежало бы на линии  $F_{s^*} \cap \{x = const > 0\}$ , что невозможно, так как там нет целых траекторий.

Возможны только два случая:

- 1) стационарная точка  $C_{ks^*}^+$  ( $k = 1, 2, 3$ ) устойчива;
- 2)  $C_{ks^*}^+$  неустойчива (и в силу предположения (P) представляет собой седло-фокус с двумерным неустойчивым многообразием, на котором траектории имеют вид спиралей).

В первом случае 1) существует такой шар  $B$  с центром в точке  $C_{ks^*}^+$ , что векторное поле  $v_{s^*}$  системы (1) пересекает границу  $\partial B$  шара  $B$  трансверсально (под некоторым углом) снаружи вовнутрь. Тогда и для всех  $s$  достаточно близких к  $s^*$ , поле  $v_s$  пересечет  $\partial B$  снаружи вовнутрь. В силу непрерывной зависимости траектории от параметра  $s$  полутраектория  $\gamma_s^+$  тоже пересечет границу  $\partial B$  (для всех  $s$ , достаточно близких к  $s^*$ ) и, поскольку шар  $B$  положительно инвариантен, останется внутри  $B$  навсегда. А это противоречит определению  $\Sigma$  (см.рис.1.; всюду ниже на рисунках будут изображаться проекции неустойчивого многообразия системы (1) на плоскость  $(x, y)$ ).

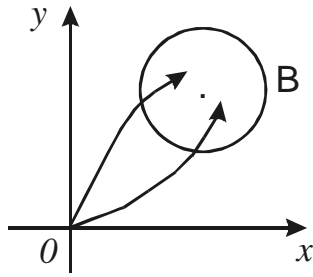


Рис.1.

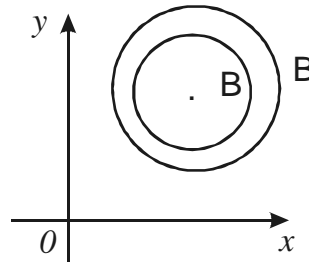


Рис.2.

Во втором случае 2) существуют два таких шара  $B_1 \subset B_2$ , что траектории, начинающиеся с любой точки границы  $\partial B_1$  шара  $B_1$  сделают два оборота вокруг устойчивого многообразия  $\gamma_{s^*}^+$  до того как они выйдут через границу  $\partial B_2$  шара  $B_2$ . Тогда для всех  $s$ , достаточно близких к  $s^*$ , соответствующие траектории  $\gamma_s^+$  должны сделать по крайней мере один оборот вокруг устойчивого многообразия стационарной точки  $C_{ks^*}^+$  до того, как они дойдут до границы  $\partial B_2$ . А это означает, что производная  $\dot{x}_s(t)$  изменяет свой знак по крайней мере два раза до того, как  $x_s(t)$  достигнет своего первого нуля. Последнее противоречит определению  $\Sigma$  (см. рис.2). Таким образом, наше допущение неверно и, следовательно, существует первый нуль  $T_{s^*}^1$  производной  $\dot{x}_{s^*}(t)$ :

$$\dot{x}_{s^*}(t) > 0 \quad \forall t \in (-\infty, T_{s^*}^1), \quad \dot{x}_{s^*}(T_{s^*}^1) = 0.$$

Отметим, что может существовать только конечное число моментов  $T_{s^*}^1 < T_{s^*}^2 < \dots < T_{s^*}^n$ , в которых

$$\dot{x}_{s^*}(T_{s^*}^1) = \dots = \dot{x}_{s^*}(T_{s^*}^n) = 0$$

(по той же причине, что и выше).

Не умаляя общности, будем считать, что  $T_{s^*}^1$  есть одновременно и последний момент обращения производной  $\dot{x}_{s^*}$  в нуль до того, как  $x_{s^*}(t)$  достигнет своего первого нуля.

Ясно, что не может быть  $\dot{x}_{s^*}^{(n)}(T_{s^*}^1) \neq 0$  при  $n$  нечетном. Следовательно, существует такое четное число  $n=2m$  ( $m \in \mathbb{N}$ ), что

$$\dot{x}_{s^*}^{(2m)}(T_{s^*}^1) = x^{(1)}(T_{s^*}^1) = \dots = x^{(2m-2)}(T_{s^*}^1) = 0, \quad x_{s^*}^{(2m)}(T_{s^*}^1) \neq 0.$$

(Если бы и последнее не имело место, то имели бы  $\dot{x}_{s^*}^{(n)}(T_{s^*}^1) = 0 \forall n \in N$ , а, следовательно,  $x_{s^*}^{(n)}(t) \equiv 0$  в силу аналитичности правых частей системы (1), что невозможно). Так как  $x_{s^*}(t)$  возрастает при  $t < T_{s^*}^1$ , то  $x_{s^*}^{(2m)}(T_{s^*}^1) < 0$ . (см. рис.3).

Итак, утверждение настоящего пункта доказано.

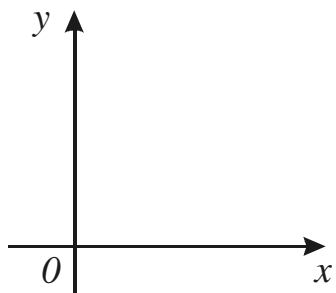


Рис. 3.

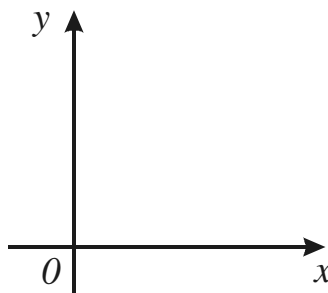


Рис. 4.

4. *Определение числа  $T_{s^*}^2$  и его свойства.* Определим число  $T_{s^*}^2 := \lim_{s \rightarrow s^*-0} T_s^2$ . Покажем, что  $T_{s^*}^2 < +\infty$ , т.е. что  $T_{s^*}^2$  конечное число. Допустим противное:  $T_{s^*}^2 = +\infty$  (тогда  $\exists \lim_{s \rightarrow s^*-0} T_s^2 = +\infty$ ). В силу непрерывной зависимости траектории от параметра  $s$  и определения числа  $T_{s^*}^2$ , будем иметь:  $\dot{y}_{s^*}(t) \leq 0, y_{s^*}(t) \geq 0$  для всех  $t > 0$  (путем сдвига времени всегда можно сделать  $T_s^1 = 0$  для всех  $s \in [0, s^*]$ ). Заметим, что на самом деле  $y_{s^*}(t) > 0 \forall t > 0$ , так как в противном случае из-за монотонного убывания  $y_{s^*}(t)$ , имели бы  $y(t) \equiv 0$ , с некоторого момента  $t_{s^*}^0$ , что, очевидно, невозможно.

Имеются только две возможности:

- 1) траектория  $\gamma_{s^*}^+$  пересекает поверхность  $F_{s^*}$  и оказывается в области  $\{\dot{x} > 0\}$  до того, как пересечет плоскость  $\{y = 0\}$  и достигнет плоскости  $\{x = 0\}$ , то есть  $\exists t_{s^*}^0 : \dot{x}_{s^*}(t_{s^*}^0) = 0$  и  $\dot{x}_{s^*}(t) > 0 \forall t \in (t_{s^*}^0, t_{s^*}^0 + \varepsilon), \varepsilon > 0$  (см рис.4.);
- 2) траектория  $\gamma_{s^*}^+$  остается все время между поверхностью  $F_{s^*}$  и плоскостью  $\{y = 0\}$ , т.е.  $y_{s^*}(t) > 0$  и  $x_{s^*}(t) < 0$  для всех  $t > 0$  (см. рис.5).

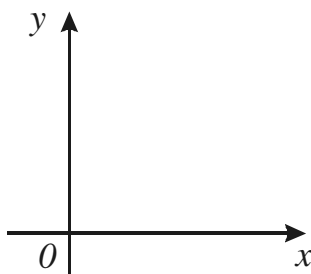


Рис. 5.

В первом случае 1) в силу непрерывной зависимости траектории от  $s$  и гладкой зависимости поверхности  $F_s$  от параметра  $s$  для всех  $s$ , достаточно близких к  $s^*$ , поведение  $\gamma_s^+$  будет таким же, как и  $\gamma_{s^*}^+$ , т.е.  $\exists t_s^0 \in (0, T_s^2)$  такой, что  $\dot{x}_s(t_s^0) = 0$  и  $\dot{x}_s(t) > 0 \forall t \in (t_s^0, t_s^0 + \varepsilon)$ , а это противоречит определению  $\Sigma$ .

Во втором случае 2), поскольку траектория  $\gamma_{s^*}^+$  ограничена (диссипативность системы (1)), то она должна приближаться к началу  $O(0, 0, 0)$  при  $t \rightarrow +\infty$ . Заметим, что к другим стационарным точкам  $C_{ks}^+$  она не может приближаться по тем же соображениям, что и выше. Но траектория может войти в стационарную точку  $O$  только на направлении вектора  $\xi_{\lambda_2}$ , лежащего в области  $\{x > 0, y < 0\}$  (см. рис.6). Поэтому случай 2) тоже невозможен. Следовательно,  $T_{s^*}^2 < +\infty$ .

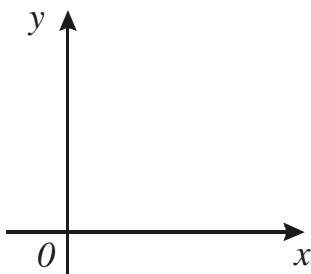


Рис. 6.

В силу непрерывной зависимости траектории от  $s$ , определения числа  $T_s^2$  и соотношения  $\lim_{s_i \rightarrow s^*} T_{s_i}^2 = T_{s^*}^2$ , где  $s_i \rightarrow s^* - 0$  при  $i \rightarrow +\infty$  будем иметь:

$$y_{s^*}(T_{s^*}^2) = 0, \quad y_{s^*}(t) \leq 0 \quad \forall t \in [0, T_{s^*}^2].$$

Отметим, что вообще говоря,  $\dot{y}_{s^*}(T_{s^*}^1) \leq 0$ , (или  $\dot{y}_{s^*}(0) \leq 0$ , если  $T_{s^*}^1 := 0$ ).

Покажем, что  $\dot{y}_{s^*}(t) < 0$  для всех  $t \in (0, T_{s^*}^2)$ . Если в некоторый момент времени  $t^0 \in (0, T_{s^*}^2)$   $\dot{y}_{s^*}(t^0) = 0$  (а  $y_{s^*}(t^0) > 0$ ), то  $\ddot{y}_{s^*}(t^0) = 0$ , так как  $\dot{y}_{s^*}(t) \leq 0$ .

Из второго уравнения системы (1) будем иметь

$$\begin{aligned} \dot{y} + y = (r - z)x &\Rightarrow (r^* - z_{s^*}(t^0))x_{s^*}(t^0) = y_{s^*}(t^0) > 0 \Rightarrow z_{s^*}(t^0) < r^* (r^* := r(s^*)), \\ \ddot{y} + \dot{y} = (r - z)\dot{x} - x\dot{z} &\Rightarrow [(r^* - z_{s^*})\dot{x}_{s^*} - x_{s^*}\dot{z}_{s^*}] \Big|_{t=t^0} = 0 \Rightarrow \dot{z}_{s^*}(t^0) < 0. \end{aligned}$$

Из третьего уравнения системы (1) имеем

$$\begin{aligned} \ddot{z} + bz = \dot{x}y + x\dot{y} &\Rightarrow \ddot{z}_{s^*} + bz_{s^*} \leq 0 \quad \forall t \in (0, T_{s^*}^2) \Rightarrow \\ \Rightarrow \dot{z}_{s^*}(t) &\leq \dot{z}_{s^*}(t^0)e^{-b(t-t^0)} < 0, \end{aligned}$$

то есть  $\dot{z}_{s^*} < 0$  для всех  $t \in [t^0, T_{s^*}^2]$ . Отсюда и из неравенства  $z_{s^*}(t^0) < r^*$  получаем  $z_{s^*}(t) < r^*$  для всех  $t \in [t^0, T_{s^*}^2]$ . В частности,  $z_{s^*}(T_{s^*}^2) < r^*$ . Однако из второго уравнения системы (1) имеем в момент  $t = T_{s^*}^2$ :

$$0 \geq \dot{y}_{s^*}(T_{s^*}^2) + y_{s^*}(T_{s^*}^2) = (r^* - z_{s^*}(T_{s^*}^2))x_{s^*}(T_{s^*}^2) \Rightarrow z_{s^*}(T_{s^*}^2) \geq r^*,$$

так как  $y_{s^*}(T_{s^*}^2) = 0, \dot{y}_{s^*}(T_{s^*}^2) \leq 0, x_{s^*}(T_{s^*}^2) > 0$ . Получили противоречие. Таким образом,  $\dot{y}_{s^*}(t) < 0 \quad \forall t \in (T_{s^*}^1, T_{s^*}^2)$ .

Теперь покажем, что  $\dot{y}_{s^*}(T_{s^*}^2) < 0$ . Допустим противное, т.е.  $\dot{y}_{s^*}(T_{s^*}^2) = 0$ . Так как  $y_{s^*}(t) > 0$  при  $t \in [0, T_{s^*}^2)$  ( $T_{s^*}^1 := 0$ ) и  $y_{s^*}(t) \leq 0$  при  $t \in [T_{s^*}^2, T_{s^*}^2 + \varepsilon)$ ,  $\varepsilon > 0$ , то в силу непрерывной зависимости траектории от параметра  $s$  и определения числа  $s^*$  будем

иметь  $\ddot{y}_{s^*}(T_{s^*}^2) = 0$ . Но с другой стороны, имеет место *следующий факт*: если в некоторый момент времени  $t = t_1 \geq T_{s^*}^2$   $y_{s^*}(t_1) = \dot{y}_{s^*}(t_1) = 0$ , то  $\ddot{y}_{s^*}(t_1) > 0$ . Действительно, имеем

$$\dot{y} + y = (r - z)x \Rightarrow (r^* - z_{s^*}(t_1))x_{s^*}(t_1) = 0 \Rightarrow z_{s^*}(t_1) = r^*.$$

Далее,

$$\dot{z} + bz = xy \Rightarrow \dot{z}_{s^*}(t_1) + bz_{s^*}(t_1) = 0 \Rightarrow \dot{z}_{s^*}(t_1) = -br^* < 0.$$

Однако

$$\ddot{y} + \dot{y} = (r - z)\dot{x} - x\dot{z} \Rightarrow [(r^* - z_{s^*})\dot{x}_{s^*} - x_{s^*}\dot{z}_{s^*}]|_{t=t_1} = \ddot{y}_{s^*}(t_1) < 0.$$

Отсюда

$$x_{s^*}(t_1)\dot{z}_{s^*}(t_1) > (r^* - z_{s^*}(t_1))\dot{x}_{s^*}(t_1) = 0 \Rightarrow \dot{z}_{s^*}(t_1) > 0.$$

Получили противоречие. Следовательно,  $\ddot{y}_{s^*}(t_1) > 0$ .

Принимая теперь  $t_1 := T_{s^*}^2$ , из только что установленного факта получаем  $\ddot{y}_{s^*}(T_{s^*}^2) > 0$ ,

что противоречит равенству  $\ddot{y}_{s^*}(T_{s^*}^2) = 0$  (см. выше).

Таким образом,  $\dot{y}_{s^*}(T_{s^*}^2) < 0$ , следовательно,  $y_{s^*}(t) > 0$  для всех  $t \in [T_{s^*}^2, T_{s^*}^3]$ , и  $\dot{y}_{s^*}(t) > 0, \forall t \in (T_{s^*}^1, T_{s^*}^2]$ .

5. *Определение числа  $T_{s^*}^3$  и его свойства.* Определим

$$T_{s^*}^3 := \lim_{s \rightarrow s^* - 0} T_s^3.$$

Покажем, что число  $T_{s^*}^3 = +\infty$ . Допустим, что это не так, т.е. число  $T_{s^*}^3$  – конечное число. Тогда в силу непрерывной зависимости траектории  $\gamma_s^+$  от параметра  $s$  и определения чисел  $s^*$  и  $T_{s^*}^3$ , будем иметь:

$$\begin{aligned} x_{s^*}(T_{s^*}^3) = 0, \quad x_{s^*}(t) > 0 \quad \forall t \in (-\infty, T_{s^*}^3), \\ y_{s^*}(t) \leq 0 \quad \forall t \in [T_{s^*}^2, T_{s^*}^3]. \end{aligned}$$

В силу доказанного в п.4 факта  $y_{s^*}(t) < 0 \quad \forall t \in (T_{s^*}^2, T_{s^*}^3)$ .

Далее, траектория  $\gamma_s^+$  не может попасть на ось  $z$ , так как она сама тоже состоит из двух траекторий, примыкающих к стационарной точке  $O(0, 0, 0)$ . Следовательно  $y_{s^*}(T_{s^*}^3) < 0$ .

Итак, имеются три возможности попадания траектории  $\gamma_s^+$  на плоскость  $\{x=0\}$ :

1) траектория  $\gamma_s^+$  попадает на часть поверхности  $F_{s^*}$ , лежащей в области  $\{x > 0, y < 0\}$  конечное число раз, т.е. существуют моменты  $t_1 < t_2 < \dots < t_k, t_i \in (T_{s^*}^2, T_{s^*}^3) (i = 1, \dots, k)$  такие, что  $\dot{x}_{s^*}(t_i) = 0$ , а затем  $\gamma_s^+$  попадает на плоскость  $\{x=x_0\}$  (см. рис.7.);

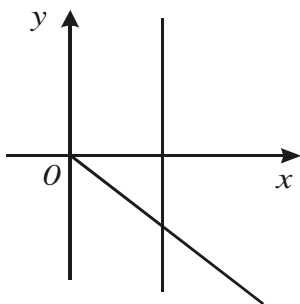


Рис. 7.

2) траектория  $\gamma_s^+$  попадает на часть полуплоскости  $\{x = 0, y < 0\}$ , где  $\dot{x} < 0$ , т.е. в область  $\{x = 0, y < 0, z < d/a\}$ , если  $a > 0$ , и в область  $\{x = 0, y < 0, z > d/a\}$ , если  $a < 0$ , т.е.  $\dot{x}_{s^*}(T_{s^*}^3) = 0, \dot{x}_{s^*}(T_{s^*}^3) < 0$ , причем  $\dot{x}_{s^*}(t) < 0, \forall t \in [T_{s^*}^2, T_{s^*}^3]$ , (см. рис.8);

3) траектория  $\gamma_s^+$  попадает на прямую  $\{x = 0, y < 0, z = d/a\}$ , где  $\dot{x} = 0$ , т.е.  $\exists t^0 \in (T_{s^*}^2, T_{s^*}^3) : \dot{x}_{s^*}(t^0) = 0, x_{s^*}(t^0) = 0, y_{s^*}(t^0) < 0, z_{s^*}(t^0) = d/a$  (см. рис.9).

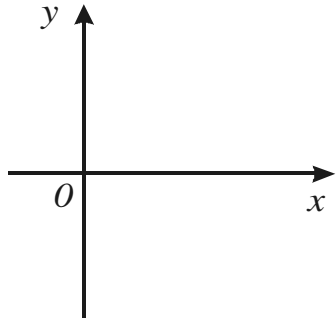


Рис.8.

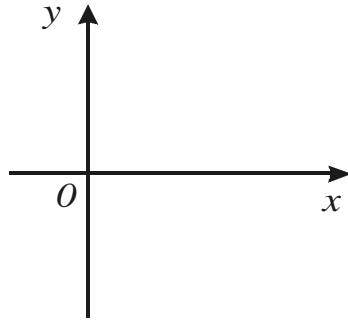


Рис.9.

В первом случае 1) траектория  $\gamma_s^+$  не может перейти с одной стороны  $F_{s^*}$ , где  $\dot{x} < 0$ , на другую сторону  $F_{s^*}$ , где  $\dot{x} > 0$ , так как иначе в силу непрерывности  $\gamma_s^+$  по параметру  $s$  и гладкой зависимости поверхности  $F_s$  от  $s$  имели бы  $\dot{x}_s(t_1) > 0$ , для некоторого момента  $t_1 > t_0$  (здесь  $t^0 : \dot{x}_{s^*}(t^0) = 0$ ) и всех  $s$ , достаточно близких к  $s^*$ , что невозможно, так как это противоречит условию 3) в определении множества  $\Sigma$ .

Поэтому в этом случае траектория  $\gamma_{s^*}^+$  достигает плоскости  $\{x=0\}$  в момент  $t = T_{s^*}^3$ , предварительно попав конечное число раз на поверхность  $F_{s^*}$  (см. рис. 10).

Во втором случае 2) траектория  $\gamma_s^+$  попадает на плоскость  $\{x=0\}$  сразу из области  $\dot{x} < 0$ , т.е. (см. рис.11).

$$\dot{x}_{s^*}(t) < 0, \forall t \in (T_{s^*}^2, T_{s^*}^3), \quad x_{s^*}(T_{s^*}^3) = 0, \quad \dot{x}_{s^*}(T_{s^*}^3) < 0.$$

В третьем случае 3) (см. рис. 12)

$$\dot{x}_{s^*}(T_{s^*}^3) = 0, \quad \dot{y}_{s^*}(T_{s^*}^3) = -y_{s^*}(T_{s^*}^3) > 0, \quad \dot{z}_{s^*}(T_{s^*}^3) = bz(T_{s^*}^3) = -\frac{bd}{a}.$$

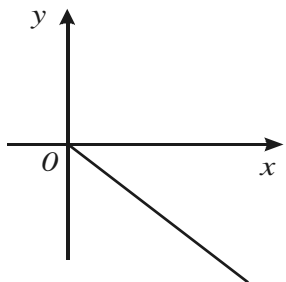


Рис.10.

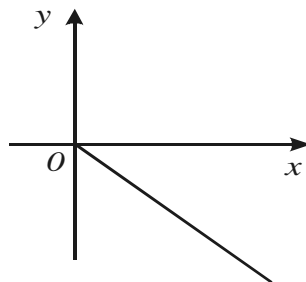


Рис.11.

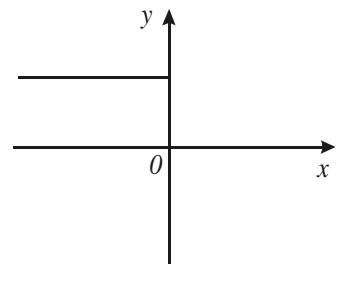


Рис.12.

Итак, в любом случае мы имеем  $\dot{x}_{s^*}(T_{s^*}^3) \leq 0$ , причем равенство в последнем неравенстве возможно только на линии  $\{x=0, y=0, z = d/a\}$ . Следовательно,  $T_{s^*}^3$  удовлетворяет третьему условию в определении  $\Sigma$ . Тогда с учетом доказанных в пп. 3 и 4 утверждений, получаем  $s^* \in \Sigma$ , что противоречит определению  $s^*$ .



Таким образом  $T_{s^*}^3 = +\infty$ , т.е.  $x_{s^*}(t) > 0$  и  $\dot{x}_{s^*}(t) \leq 0$  для всех  $\forall t \in (T_{s^*}^2, +\infty)$ .

б. *Завершение доказательства теоремы.*

Поскольку  $\dot{x}_{s^*}(t) \leq 0$ ,  $\forall t \in (T_{s^*}^2, +\infty)$ , то существует  $\lim_{t \rightarrow +\infty} x_{s^*}(t) = x_{s^*}^\infty \geq 0$ . Ясно, что не может быть  $x_{s^*}^\infty > 0$ . (иначе  $\omega$ -предельное множество траектории  $\gamma_{s^*}^+$  лежало бы на плоскости  $\{x = x_{s^*}^\infty\}$ , чего быть не может). Итак,  $\lim_{t \rightarrow +\infty} x_{s^*}(t) = 0$ . Следовательно,  $\omega$ -предельное множество

$\Omega(\gamma_{s^*}^+)$  траектории  $\gamma_{s^*}^+$  лежит в замкнутой области  $G_{s^*}^0$  полуплоскости  $\{x=0, y \leq 0\}$ , ограниченной отрезком оси  $z$  и некоторой гладкой кривой (являющейся пересечением области диссипативности системы (1) с полуплоскостью  $\{x=0, y < 0\}$ , концы которой примыкают соответственно к концам указанного отрезка оси  $z$ ).

Поскольку в области  $G_{s^*}^0$ , кроме точки  $O(0, 0, 0)$  нет целых траекторий, то  $\Omega(\gamma_{s^*}^+) = O$  (см. рис.13).

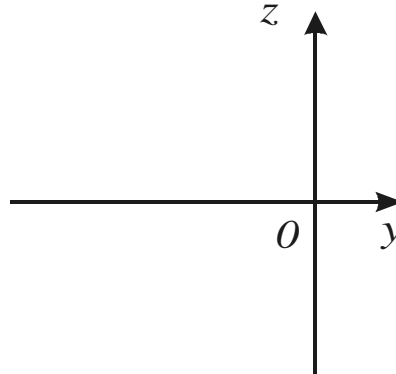


Рис. 13.

Следовательно, существуют

$$\lim_{t \rightarrow +\infty} y_{s^*}(t) = \lim_{t \rightarrow +\infty} z_{s^*}(t) = 0.$$

Итак,  $\gamma_{s^*}^+ \rightarrow O$  при  $t \rightarrow +\infty$ . Этим установлено, что  $\gamma_{s^*}^+(t)$  является гомоклинической орбитой, примыкающей к началу координат.

Теорема доказана полностью.

**Замечание 1.** Для системы Лоренца ( $a=0$ ) условия 1) – 3) теоремы выполнены при

$$d \geq \frac{2b+1}{3} \tag{3}$$

и достаточно большом значении параметра  $r$ , а условие (2) имеет место при

$$0 < d < \frac{2b+1}{3} \tag{4}$$

и любом фиксированном значении  $r$  (см. [3], [5], [15]).

Поэтому условия теоремы будут выполнены, например, для только что указанных выше значений параметров  $b, d, r$  (см. [3], [4]) и всех достаточно малых по модулю значениях параметра  $a$ .

**Замечание 2.** Оценка (3) для системы Лоренца была получена впервые Г.А. Леоновым в работе [15], в которой также было высказано предположение об ее неулучшаемости. Последний факт был установлен Х. Чэном в работе [3].

**Замечание 3.** Насколько нам известно, открытым остается вопрос о получении неулучшаемой оценки, аналогичной (3), параметров бифуркации петли сепаратрисы (гомоклинической орбиты) седла для обобщенной системы Лоренца, т.е., спрашивается, какое соотношение между параметрами  $d$ ,

$b$ , и  $a$  является необходимым и достаточным условием для того, чтобы обобщенная система Лоренца (1) при достаточно больших значениях параметра  $g$  имела гомоклиническую орбиту?

### Литература

1. Hasting S.P., Troy W.C.//Bull. Amer. Math. Soc. 1992 (27)
2. Hasting S.P., Troy W.C.//Journ. of Diff. Eq. 1994 (113)
3. Chen X. //SIAM, Journ. Math. Anal. 1996(27:4)
4. Леонов Г.А.//Вестник С.-Петербург. гос. университета. Сер. 1.– 1999. – №1
5. Леонов Г.А.//Прикл. Матем. и Мех. ( в печати).
6. Глуховский А.Б., Должанский Ф.В.//Изв. АН СССР. Физика атмосф. и океана. – 1980. – т. 16. – №5
7. Пиковский А.С., Рабинович М.Н., Трахтенгерц В.Ю.// Журн. эксперим. и теорет. физики, 1978. – т. 74. – №4
8. Леонов Г.А., Морозов А.В.// Прикл. Матем. и Мех. 1988. – Т.52. – вып.1
9. Сонечкин Д.М. Стохастичность в моделях общей циркуляции атмосферы. – Л., 1984.
10. Денисов Г.Г.// Изв. АН СССР. Мех. Тверд. Тела. 1989. – № 4.
11. Рабинович М.И.//Успехи физических наук. – 1978. – т. 125. – вып.1
12. Леонов Г.А., Буркин И.М., Шепелявый А.И. Частотные методы в теории колебаний (часть 2). СПб. 1992.
13. Hassand, Zhang //SIAM, Journ. Math. Anal. 1994 (25)
14. Хартман Ф. Обыкновенные дифференциальные уравнения. – М., 1970.
15. Леонов Г.А.//Диф. уравнения – 1988, № 6.

## On Existence of Homoclinic Orbit for Generalized Lorenz System

**M.M.Shumafov**

Existence of homoclinic orbit for generalized Lorenz system is established.

**Къелолэн**

**Мышьэостэ ыкъоу Шумафэ Мыхьамэт**

Мы тезисым къытреуатэ сыдыгъуа ушьомбгъугъэ Лоренц исистемэ гомоклиникэ гъогу злэу хьурэр.